

# Lax-Friderichs 格式在磁流体模拟中的改进和应用<sup>\*</sup>

刘 强<sup>1,2</sup> 李会超<sup>2,3</sup>

1(洛阳师范学院物理与电子信息学院空间物理研究所 洛阳 471022)

2(中国科学院国家空间科学中心 空间天气学国家重点实验室 北京 100190)

3(中国科学院大学 北京 100049)

**摘要** 磁流体数值模拟是空间物理研究的重要手段。采用具有 TVD (Total Variation Diminishing) 特性的 Lax-Friderichs 差分格式求解了 GLM-MHD (Generalized Lagrange Multiplier-Magnetohydrodynamics) 方程。为降低格式的数值耗散, 引入耗散修正系数对算法的通量计算过程进行改进。二维 Rotor 算例和磁云-电流片相互作用算例的模拟结果表明, GLM-MHD 方法可以有效控制磁场散度误差, 相对于泊松校正法可以节省一半以上的计算时间。在不破坏格式稳定性基础上, 耗散修正系数有效降低了算法的数值耗散。

**关键词** 磁流体力学, 差分格式, 散度误差, 数值耗散

**中图分类号** P 353

## Improvement and Application of Lax-Friderichs Scheme in MHD Numerical Simulation

LIU Qiang<sup>1,2</sup> LI Huichao<sup>2,3</sup>

1(*Physics and Electronic Information College, Institute of Space Physics, Luoyang Normal University, Luoyang 471022*)

2(*State Key Laboratory of Space Weather, National Space Science Center, Chinese Academy of Sciences, Beijing 100190*)

3(*University of Chinese Academy of Sciences, Beijing 100049*)

**Abstract** Magnetohydrodynamics (MHD) numerical simulation is an important tool for space physics research. In this paper, Lax-Friderichs scheme with TVD property is employed to solve GLM-MHD equations. The diffusion turning coefficient is introduced for scheme optimization. Simulation result of 2D rotor test and magnetic cloud current sheet interaction test demonstrates GLM-MHD method's divergence control capability. The simulation consumes less than half of the computational

\* 国家自然科学基金项目 (41274180, 41231068) 和河南省高校科技创新团队项目 (13IRTSTHN020) 共同资助

2015-10-19 收到原稿, 2016-03-21 收到修定稿

E-mail: liuq523@163.com

time comparing with simulation utilizing Poisson correction method. While numerical stability is not damaged, numerical diffusion is reduced by the diffusion tuning coefficient.

**Key words** Magnetohydrodynamic, Difference scheme, Divergence error, Numerical dissipation

## 0 引言

日地空间物理学中的许多现象可以用磁流体力学(MHD)模型来描述。由于MHD方程组的高度非线性,很难求出一般问题的解析解。应用MHD方程组进行理论研究时通常需要借助数值模拟方法。同时MHD数值模拟可以给出空间物理学现象在所关心空间位置和时间点上的物理参数,弥补观测数据在时间与空间上的局限。此外,空间物理学研究的现象很难在实验室中重复。MHD数值模拟为空间物理理论研究提供了可控的实验途径。随着数值技术和计算技术的不断发展,MHD数值模拟在日冕、行星际、磁层以及电离层等大尺度、复杂物理过程研究中得到了越来越广泛应用<sup>[1]</sup>。

MHD方程是Navier-Stokes方程、Maxwell方程及广义欧姆定律的耦合,具有典型的非线性和非严格的双曲性。MHD方程数值模拟方法大多借鉴流体力学(HD)方程数值模拟。然而MHD方程的特征系统比HD方程复杂得多<sup>[2]</sup>,这使得数值求解MHD方程组比HD方程组要困难。早期数值求解MHD方程的方法主要是以Lax-Wendroff(LF)格式为代表的有限差分方法<sup>[3]</sup>。虽然其精度可以达到二阶,但在间断附近会产生振荡,不能精确捕捉到激波、接触间断等非线性结构。1983年Harten首次提出数值格式的总差不增(Total Variation Diminishing, TVD)性质<sup>[4]</sup>。具备这种性质的数值格式能够保证数值解的单调性,有效抑制间断附近的振荡,一般称为TVD格式。早期TVD格式在极值点只有一阶精度,通过MUSCL(Monotonic Upstream-Centered Scheme)重构方法,可以使格式精度达到二阶<sup>[5]</sup>。通过PPM(Piecewise Parabolic Method)重构方法,可使格式精度达到三阶<sup>[6]</sup>。ENO/WENO(Weighted Essentially Non-oscillatory)重构方法<sup>[7]</sup>能够使格式精度达到四阶甚至更高。然而由于高阶重构方法在间断附近会自动降低精度以抑制震荡,对于存在大量非线性间断的问题,没有必要使用精度在二阶以上的重构方法<sup>[8]</sup>。Tanaka等<sup>[9]</sup>提出了求解MHD方程

的一种TVD格式,并将磁场分裂成本底磁场 $B_0$ 和变化磁场 $B_1$ ,以增强格式在地球磁层模拟中的性能。Feng, Wei 及 Fan 等<sup>[10-13]</sup>采用修正的TVD-Lax-Friedrich格式,发展了一种快捷具有TVD特性的组合数值方法,在3D球坐标以及2.5D直角坐标系下对MHD方程进行模拟,解释并证明了大尺度太阳风结构及磁云边界等。

Maxwell方程组要求磁场散度处处为零,即满足 $\nabla \cdot \mathbf{B} = 0$ 。但在多维MHD数值模拟中,满足该条件需要特别的处理方法。这是MHD数值模拟比HD数值模拟更复杂的另一个原因。在保持磁场散度为0的方法中,常用泊松校正法需在每一步都求解泊松方程,数值计算耗时比较多<sup>[13]</sup>。8 波法则会破坏MHD方程的守恒性<sup>[14-15]</sup>。Constrain Transport(CT)一般需要将交错网格来实现,步骤比较繁琐<sup>[6]</sup>。广义拉格朗日乘子(Generalized Lagrangian Multiplier, GLM)方法通过在MHD方程中增加变量 $\psi$ 的方式,构成GLM-MHD方程组,在不破坏方程守恒性的前提下,使磁场散度误差在输运的同时被耗散<sup>[16]</sup>。标准算例测试结果表明,这种方法能够有效控制磁场散度误差,得到精确的数值结果。同时可能在间断附近产生不正确的解。

本文采用修正的TVD-Lax-Friedrich格式求解GLM-MHD方程,引入耗散修正系数(diffusion reduction coefficient)以降低格式耗散。通过对二维Rotor问题和行星际磁云边界层问题的模拟,验证了格式的性能。

## 1 基本方程和方法

### 1.1 控制方程

这里求解的是2.5D守恒形式的电阻GLM-MHD方程,即

$$\frac{\partial \mathbf{U}}{\partial t} + \frac{\partial \mathbf{F}}{\partial x} + \frac{\partial \mathbf{G}}{\partial y} = \mathbf{S}_1 + \mathbf{S}_2. \quad (1)$$

式中,

$$\mathbf{U} = \begin{bmatrix} \rho \\ \rho u \\ \rho v \\ \rho w \\ B_x \\ B_y \\ B_z \\ T \\ \psi \end{bmatrix}, \quad (2)$$

$$\mathbf{F} = \begin{bmatrix} \rho u \\ \rho u^2 + p - \frac{B_x^2 - B_y^2 - B_z^2}{2\mu_0} \\ \rho u v - \frac{B_x B_y}{\mu_0} \\ 0 \\ u B_y - v B_x \\ u B_z - w B_x \\ T u \\ c_h^2 B_x \end{bmatrix}, \quad (3)$$

$$\mathbf{G} = \begin{bmatrix} \rho v \\ \rho u v - \frac{B_x B_y}{\mu_0} \\ \rho v^2 + p - \frac{-B_x^2 + B_y^2 - B_z^2}{2\mu_0} \\ \rho v w - \frac{B_y B_z}{\mu_0} \\ -u B_y + v B_x \\ 0 \\ v B_z - w B_y \\ T v \\ c_h^2 B_y \end{bmatrix}, \quad (4)$$

$$\mathbf{S}_1 = \begin{bmatrix} 0 \\ 0 \\ 0 \\ \frac{L(B_x)}{\sigma\mu_0} \\ \frac{L(B_y)}{\sigma(\mu_0)} \\ \frac{L(B_z)}{\sigma(\mu_0)} \\ \frac{T}{3} \left( \frac{\partial u}{\partial x} + \frac{\partial v}{\partial y} \right) \\ 0 \end{bmatrix},$$

$$\mathbf{S}_2 = \begin{bmatrix} 0 \\ 0 \\ 0 \\ 0 \\ 0 \\ 0 \\ 0 \\ -\frac{c_h^2}{c_p^2} \psi \end{bmatrix}. \quad (5)$$

其中  $L(\theta) = \frac{\partial^2 \theta}{\partial x^2} + \frac{\partial^2 \theta}{\partial y^2}$  为拉普拉斯算符. 方程中拉格朗日乘子  $\psi$  为标量, 是与磁场散度误差相关的量.  $c_h$  用来表征散度误差传播速度. 若用  $c_{f,x}$ ,  $c_{f,y}$  分别表示  $x$  和  $y$  方向的快磁声波速度, 则可令  $c_h = \max(|u| + c_{f,x}, |v| + c_{f,y})$ , 从而在不对计算时间步长产生附加限制的前提下, 以最大速度将产生的磁场散度误差输出出去. 同时, 按照文献 [16] 将常数  $c_p$  取值为  $c_p = (0.18 c_h)^{1/2}$ .

## 1.2 GLM-TVD-LF 格式

将 Feng 等<sup>[10]</sup>求解 MHD 方程的 TVDLF 格式应用于 GLM-MHD 方程求解. 这种格式将一个时间步的求解过程分为预估步和校正步两个步骤. 具体求解过程如下.

### (1) 预估步

通过预估步, 得到  $U$  在两个时间步之间的中间值为

$$\begin{aligned} U_{i,j,k}^{n+\frac{1}{2}} &= U_{i,j,k}^n - \frac{\Delta t}{2\Delta x} \left[ \mathbf{F} \left( U_{i,j,k}^n + \frac{1}{2} \delta U_i^n \right) - \right. \\ &\quad \left. \mathbf{F} \left( U_{i,j,k}^n - \frac{1}{2} \delta U_i^n \right) \right] - \frac{\Delta t}{2\Delta y} \left[ \mathbf{G} \left( U_{i,j,k}^n + \right. \right. \\ &\quad \left. \left. \frac{1}{2} \delta U_j^n \right) - \mathbf{G} \left( U_{i,j,k}^n - \frac{1}{2} \delta U_j^n \right) \right] + \\ &\quad \frac{\Delta t}{2} \mathbf{S}_1(U_{i,j,k}^n). \end{aligned} \quad (6)$$

式 (6) 中  $\mathbf{F}$ ,  $\mathbf{G}$  的具体形式分别见式 (3) 和式 (4).

$$\delta U_i^n = \text{minmod}(\Delta U_{i-1/2,j,k}^n, \Delta U_{i+1/2,j,k}^n),$$

$$\Delta U_{i+1/2,j,k}^n = U_{i+1,j,k}^n - U_{i,j,k}^n. \quad (7)$$

$\delta U_j^n$  的定义与式 (7) 类似. 这里使用 minmod 限制器

来抑制间断附近震荡的产生, 即

$$\text{minmod}(x, y) = \text{sgn}(x)\max(0, \min[|x|, y\text{sgn}(x)]).$$

$$\text{sgn}(x) = \begin{cases} 1, & x > 0; \\ 0, & x = 0; \\ -1, & x < 0. \end{cases} \quad (8)$$

源项  $S_1$  中的空间导数均由中心差分计算, 以  $\frac{\partial u}{\partial x}$  和  $\frac{\partial^2 B_x}{\partial x^2}$  为例, 有

$$\left(\frac{\partial u}{\partial x}\right)_{i,j,k} = \frac{u_{i+1,j,k} - u_{i-1,j,k}}{2\Delta x},$$

$$\left(\frac{\partial^2 B_x}{\partial x^2}\right)_{i,j,k} = \frac{B_{xi+1,j,k} - 2B_{xi,j,k} + B_{xi-1,j,k}}{\Delta x^2}.$$

在计算式 (6) 后, 参考文献 [16] 中的方法对  $\psi$  值再进行更新, 即

$$\psi_{i,j,k}^{*n+\frac{1}{2}} = \psi_{i,j,k}^{n+\frac{1}{2}} \exp\left(-\frac{c_h^2 \Delta t}{2c_p^2}\right),$$

以体现源项  $S_2$  的作用, 并以  $\psi_{i,j,k}^{*n+\frac{1}{2}}$  作为  $\psi$  在校正步中使用的值.

### (2) 校正步

通过校正步, 得到物理量在下一个时间步的值

$$U_{i,j,k}^{n+1} = U_{i,j,k}^n - \frac{\Delta t}{\Delta x} \left( \hat{F}_{i+\frac{1}{2},j,k}^{n+\frac{1}{2}} - \hat{F}_{i-\frac{1}{2},j,k}^{n+\frac{1}{2}} \right) -$$

$$\frac{\Delta t}{\Delta y} \left( \hat{G}_{i,j+\frac{1}{2},k}^{n+\frac{1}{2}} - \hat{G}_{i,j-\frac{1}{2},k}^{n+\frac{1}{2}} \right) + \Delta t S_1(U_{i,j,k}^{n+\frac{1}{2}}). \quad (9)$$

以  $x$  方向的通量  $\hat{F}_{i+\frac{1}{2},j,k}^{n+\frac{1}{2}}$  为例介绍校正步中通量的计算方法. 定义

$$U_{i+\frac{1}{2},j,k}^L = U_{i,j,k}^{n+\frac{1}{2}} + \frac{1}{2} \delta U_i^n,$$

$$U_{i+\frac{1}{2},j,k}^R = U_{i,j,k}^{n+\frac{1}{2}} - \frac{1}{2} \delta U_{i+1}^n. \quad (10)$$

其中,  $\delta U_i^n$  的值已在预估步中由式 (7) 算出, 这里无需再次计算.

在计算  $F_{i+\frac{1}{2},j,k}$  时, 参考文献 [16] 的方法, 首先解出 GLM 子系统的黎曼问题, 得到

$$B_{xi+\frac{1}{2},j,k}^L = \frac{B_{xi+\frac{1}{2},j,k}^L B_{xi+\frac{1}{2},j,k}^R}{2}$$

$$\frac{1}{2c_h} \left( \psi_{i+\frac{1}{2},j,k}^R - \psi_{i+\frac{1}{2},j,k}^L \right),$$

$$\psi_{i+\frac{1}{2},j,k} = \frac{\psi_{i+\frac{1}{2},j,k}^L + \psi_{i+\frac{1}{2},j,k}^R}{2} -$$

$$\frac{c_h}{2} \left( B_{xi+\frac{1}{2},j,k}^R - B_{xi+\frac{1}{2},j,k}^L \right). \quad (11)$$

再令

$$B_{xi+\frac{1}{2},j,k}^L = B_{xi+\frac{1}{2},j,k}^R = B_{xi+\frac{1}{2},j,k},$$

$$\psi_{i+\frac{1}{2},j,k}^L = \psi_{i+\frac{1}{2},j,k}^R = \psi_{i+\frac{1}{2},j,k}.$$

随后采用 Lax-Friedrich 方法计算出通量

$$\hat{F}_{i+\frac{1}{2},j,k}^{n+\frac{1}{2}} = \frac{1}{2} \left[ F(U_{i+\frac{1}{2},j,k}^L) + F(U_{i+\frac{1}{2},j,k}^R) - \frac{1}{2} |\lambda_{\max}|_{LR} (U_{i+\frac{1}{2},j,k}^R - U_{i+\frac{1}{2},j,k}^L) \right]. \quad (12)$$

定义  $c_{f,x}(U)$  为以  $U$  中物理量值计算出的  $x$  方向的快磁声波波速, 则

$$\lambda_{\max} = \max \left[ c_{f,x}(U_{i+\frac{1}{2},j,k}^R), c_{f,x}(U_{i+\frac{1}{2},j,k}^L) \right]. \quad (13)$$

在计算完式 (9) 后, 采用与预估步相似的方法, 更新  $\psi$  的值, 即

$$\psi_{i,j,k}^{*n+1} = \psi_{i,j,k}^{n+1} \exp\left(-\frac{c_h^2 \Delta t}{2c_p^2}\right). \quad (14)$$

### 1.3 GLM-TVD-TD 修正

用 Lax-Friedrich 方法计算数值通量, 虽然稳定性较好, 但其将粘性项  $|\lambda_{\max}|_{LR} (U_{i+\frac{1}{2},j,k}^R - U_{i+\frac{1}{2},j,k}^L)$  系数固定为  $1/2$ , 数值粘性较大. Yalim 等 [17] 和 omebreal Diebel 等 [18] 提出引入一个取值范围在  $(0, 1]$  之间的耗散修正系数  $\varepsilon$ , 用来控制通量耗散大小. 则数值通量公式 (13) 可以改写为

$$\hat{F}_{i+\frac{1}{2},j,k}^{n+\frac{1}{2}} = \frac{1}{2} \left[ F(U_{i+\frac{1}{2},j,k}^L) + F(U_{i+\frac{1}{2},j,k}^R) - \frac{\varepsilon}{2} |\lambda_{\max}|_{LR} (U_{i+\frac{1}{2},j,k}^R - U_{i+\frac{1}{2},j,k}^L) \right]. \quad (15)$$

$\varepsilon$  取值越小, 数值通量耗散越低. 但  $\varepsilon$  取得过小时, 间断面附近会产生数值振荡, 使得计算不能稳定进行. 目前对非线性方程数值解法的稳定性还没有严格地判断准则,  $\varepsilon$  难以通过理论推导给出. 这里采用

了 Yalim 等的方法<sup>[17]</sup>, 通过采用不同  $\varepsilon$  值进行多次数值实验的方式, 选取结果中不存在振荡等非物理现象的最小  $\varepsilon$  值. 这样就可以在追求精确度和保证数值计算稳定性之间寻求最佳平衡点.

## 2 二维 Rotor 问题数值试验

为对 GLM-TVD-LF 和 GLM-TVD-TD 方法进行验证, 选取 Rotor 问题进行数值模拟. 1999 年 Balasara 和 Spicer<sup>[19]</sup> 为研究强扭转 Alfvén 波结构和传播提出了二维 Rotor 问题. 由于 Rotor 问题具有典型的磁场和流场间断面结构, 使其成为验证 MHD 模拟方法的重要算例.

选取的模拟区域为  $x, y \in [-0.5, 0.5]$ , 采用了  $400 \times 400$  的均匀网格. 初始条件为<sup>[16]</sup>

$$(\rho, v_x, v_y) = \begin{cases} (10, -\omega y, \omega x), & r \leq r_0; \\ \left(1 + 9f, -\frac{f\omega yr_0}{r}, \frac{f\omega xr_0}{r}\right), & r_0 < r < r_1; \\ (1, 0, 0), & r \geq r_1. \end{cases} \quad (16)$$

其中,  $\omega = 20$ ,  $r_0 = 0.1$ ,  $r_1 = 0.115$ ,  $r = (x^2 + y^2)^{1/2}$ ,  $f = (r_1 - r)/(r_1 - r_0)$ , 磁场  $B_x = 5.0/\sqrt{4\pi}$ , 热压  $p = 1$ , 绝热系数  $\gamma = 1.4$ . 计算在  $t = 0.15$  时停止.

图 1 中自上而下分别给出了使用文献 [10] 中的 TVD-LF 方法、本文的 GLM-TVD-LF 方法和 GLM-TVD-TD 方法模拟得到的 Rotor 问题密度  $\rho$  等值线和磁场  $B^2$  等值线, 其中耗散修正系数选取为通过试验得到的最优值  $\varepsilon = 0.5$ . 通过对比等值线结果, 可以发现三种方法得到的解的结构大致相似, 与参考文献中的结果一致. 图 2 给出了三种方法计算结果中, 在  $y = 0$  处密度和总磁场强度随  $x$  的变化. 从中可以看出, 在激波处 TVD-GLM-TD 格式的耗散最小, 这种方法有效降低了算法的数值粘性.

## 3 磁云边界问题数值试验

### 3.1 计算初始条件

磁云是行星际空间中磁场和等离子体的一种大尺度扰动现象. 其特征是较低的等离子体密度和温

度及较低的等离子体  $\beta$  和磁场方向旋转. 对行星际磁云的研究有助于了解 CME 爆发时物质质量、磁场和能量的相互关系. Fan 等<sup>[13]</sup> 通过数值模拟磁云和电流片相互作用过程, 验证了 Wei 等<sup>[11]</sup> 对磁云边界层的定义. 为了用空间物理研究中的实际问题验证改进算法的计算效果, 对这一问题采用文献 [13] 中的 TVD-LF 原始方法和新改进的 GLM-TVD-LF 和 GLM-TVD-TD 两种方法进行了数值模拟. 模拟采用矩形网格, 网格间距  $\Delta x = 2 \times \Delta y = 0.2$ , 计算区域  $L_x \times L_y = 20 \times 20$ . 令  $x = -10.0 + i\Delta x$ ,  $y = -10.0 + j\Delta y$ , 初始背景磁场为 Harris 型电流片, 即

$$B_0 = B_\infty \tanh\left(\frac{y - y_0}{L}\right) i_x. \quad (17)$$

磁云初始的中心位置为  $(x_0, y_0) = (0, 3.5)$ , 磁雷诺系数  $R_m = 5000$ , 磁云位形采用 Lundquist 给出的无力场模型得到<sup>[20]</sup>:

当  $r \leq r_c$  时,

$$\begin{aligned} B_r &= 0, \\ B_\varphi &= C_0 B_\infty J_1(\alpha r), \\ B_z &= C_0 B_\infty J_0(\alpha r); \end{aligned}$$

当  $r_c < r < r_b$  时,

$$\begin{aligned} B_r &= B_\infty \left(1 - \frac{r_b - r}{r_b - r_c} \frac{r_c^2}{r^2}\right) \cos \varphi, \\ B_\varphi &= -B_\infty \left(1 + \frac{r_b - r}{r_b - r_c} \frac{r_c^2}{r^2}\right) \sin \varphi, \\ B_z &= 0. \end{aligned}$$

其中,  $r$  为计算点距离磁云中心的距离, 磁云半径  $r_c = 3.0$ ,  $r_b = 2.0r_c$ .  $J_0$  和  $J_1$  为第一类贝塞尔函数,  $\alpha$  为无力场常数且  $\alpha = -2.4/r_c$ ,  $C_0 = 5.7850$ .

### 3.2 数值模拟结果

首先通过数值试验确定 GLM-TVD-TD 修正中可调参数  $\varepsilon$  的最佳取值. 图 3 为计算进行到  $t = 2$  时刻, 不同耗散修正系数  $\varepsilon$  模拟结果的磁场强度  $|B|$  和等离子体温度  $T$  的模拟结果在  $x = 0$  处随  $y$  变化的曲线. 计算结果表明当  $\varepsilon < 0.5$  时, 如  $\varepsilon = 0.3$  时, 得到的曲线在间断面和极值附近有细微的振荡出现, 而  $\varepsilon = 0.5$  对应的结果过渡区较窄, 在计算稳定的同时具有较低的数值粘性. 因此在此问题的数值模拟中, 选取  $\varepsilon = 0.5$ .

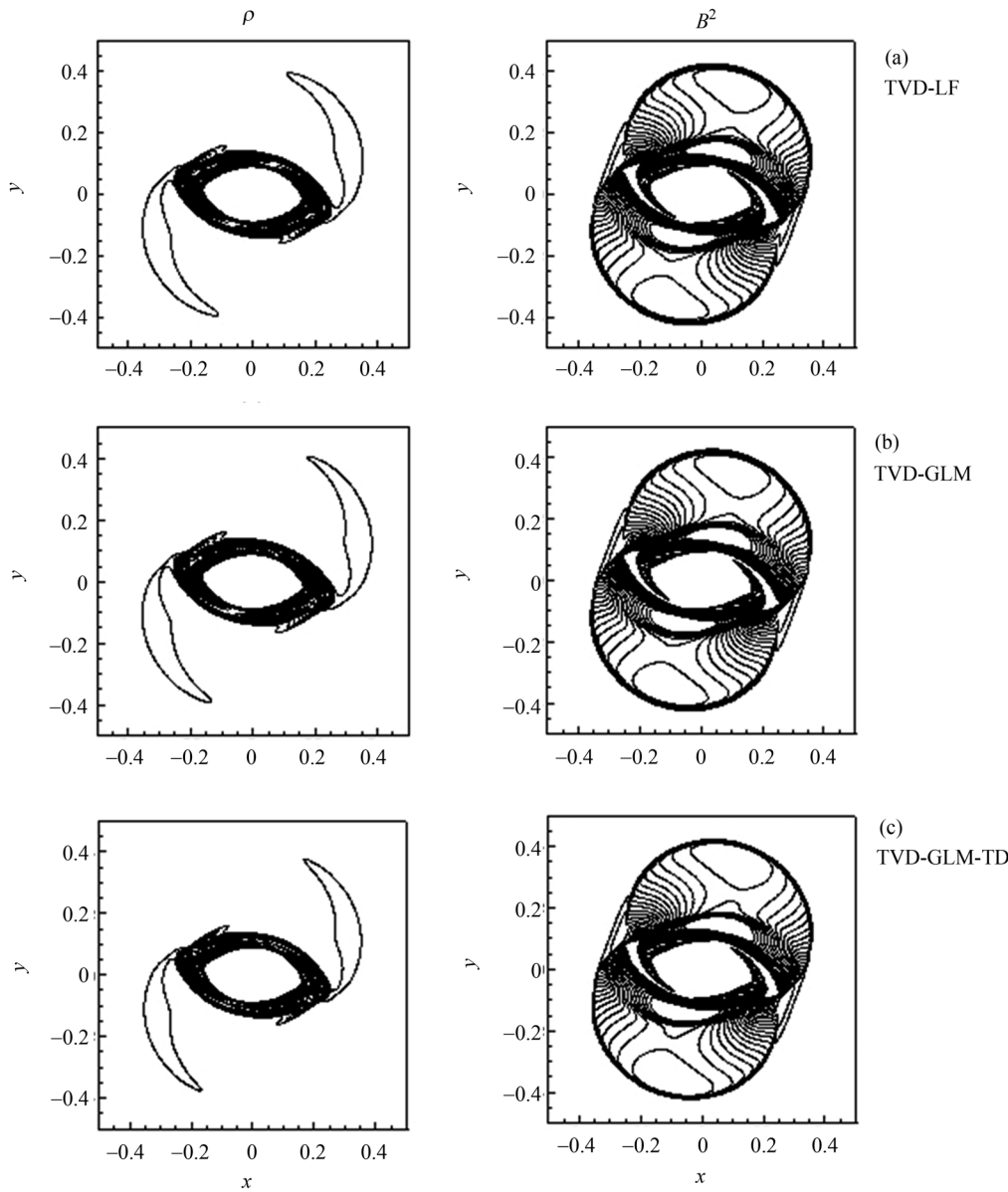
图 1 二维 Rotor 问题的密度  $\rho$  和磁场  $B^2$  在  $t = 0.15$  时的等值线Fig. 1 Level curves of density  $\rho$  and magnetic field magnitude  $B^2$  of 2D Rotor problem at  $t = 0.15$ 

图 4 给出三种方法模拟结果在  $t = 2$  时刻沿  $x = 0$  方向跨越磁云边界层时磁场强度  $|B|$ 、磁场  $x$  轴夹角  $\Phi_B$ 、等离子体温度  $T$ 、等离子体密度  $D$  以及等离子体热压与磁压之比的对数  $\lg \beta$  随  $y$  的变化。对比发现, 三种方法得到的结果图形大致相同。但是相比文献 [13] 中 TVD-LF 方法得到的结果, GLM-TVD-LF 和 GLM-TVD-TD 方法所得结果中,  $y = -2.5$  附近重联点位置有所变化。应用 TVD-LF 方法求解 8 波形式的 MHD 方程, 再次对本问题进行计算, 发现

8 波法结果中重联点位置与 GLM-TVD-LF 及 GLM-TVD-TD 的结果更接近。文献 [13] 使用柏松校正法控制磁场散度, 并用一种伪时间步方法求解柏松方程。数值试验表明这种求解柏松方程的方法并不能完全收敛。这可能是造成重联点位置变化的原因。同时在磁云中心, GLM-TVD-LF 和 GLM-TVD-TD 格式下的磁场方向变化区更窄, 说明这两种方法的数值耗散较低。

为定量观察磁场散度  $\nabla \cdot \mathbf{B}$  的大小和变化情况,

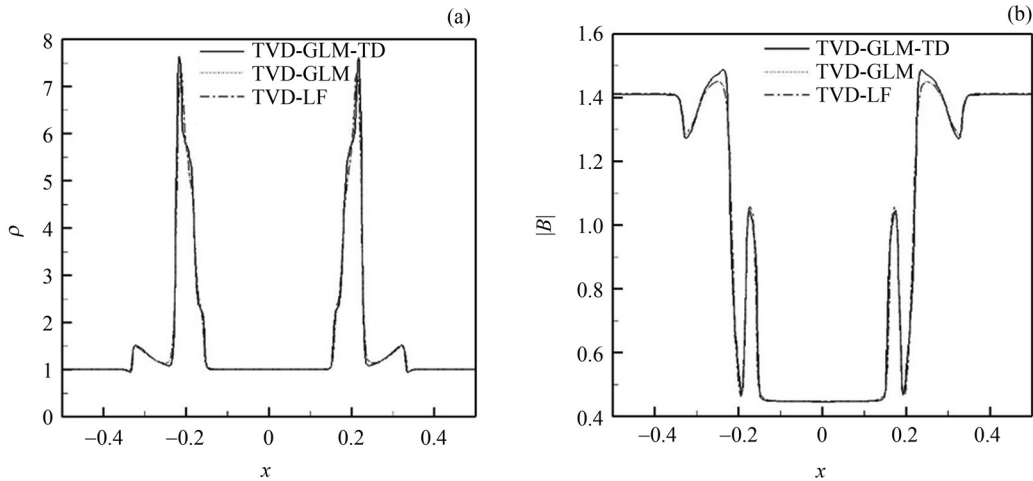
图 2 二维 Rotor 问题在  $t = 0.15$  时刻沿  $x$  方向采用不同方法计算的密度  $\rho$  和磁场  $|B|$  的对比

Fig. 2 Comparison of density  $\rho$  and magnetic field magnitude  $|B|$  by using different methods in  $x$  direction at  $t = 0.15$

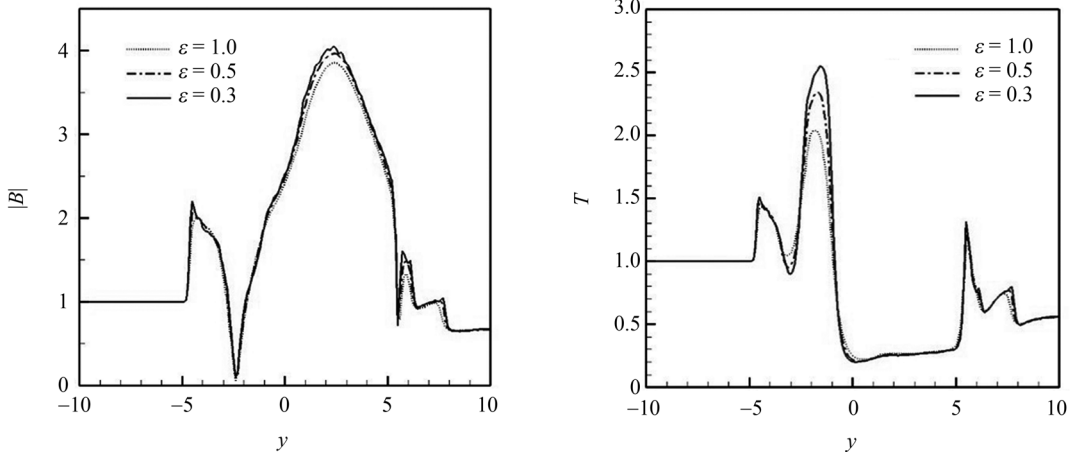


图 3  $t = 2$  时刻不同耗散修正系数  $\varepsilon$  下磁场  $|B|$  曲线和等离子体温度  $T$  曲线  
Fig. 3 Curves of magnetic field magnitude  $|B|$  and plasma temperature  $T$  by using different diffusion reduction coefficient  $\varepsilon$  at  $t = 0.15$

计算了平均磁场散度误差<sup>[21]</sup>, 有

$$e = \frac{\sum_{k=1}^M |(\nabla \cdot \mathbf{B})_k|}{M}. \quad (18)$$

式中  $M$  为总网格数.

图 5 给出了利用 TVD-LF, TVD-GLM 和 TVD-GLM-TD 方法对磁云激波相互作用问题进行模拟时, 计算结果的平均磁场散度误差随时间的变化曲线. 从图 5 可以看出, 这三种方法中, TVD-LF 格式使用泊松校正法, 对磁场散度误差的抑制最为有效, 其次是 TVD-GLM 方法. 随着计算的进行, 三种方法得

到的平均磁场散度误差均逐渐减小. 应用 GLM 方法控制磁场散度误差时, 虽然磁场散度误差绝对值比泊松校正法要大, 但是前面计算结果表明磁场散度误差对计算结果并无明显影响. 这说明在本算例中 GLM 方法能够有效控制磁场散度误差.

本算例数值程序使用 Intel Fortran 编译器, 在配备 Intel Xeon E7450 CPU (2.4 GHz 主频) 的计算机上运行. 运行至  $t = 2$  物理时刻, 文献 [13] TVD-LF 格式的计算时间为 307 s, 而本文 GLM-TVD-LF 和 GLM-TVD-TD 方法中耗费的计算时间为 123 s. 文献 [13] TVD-LF 格式在用泊松校正法控制磁场散

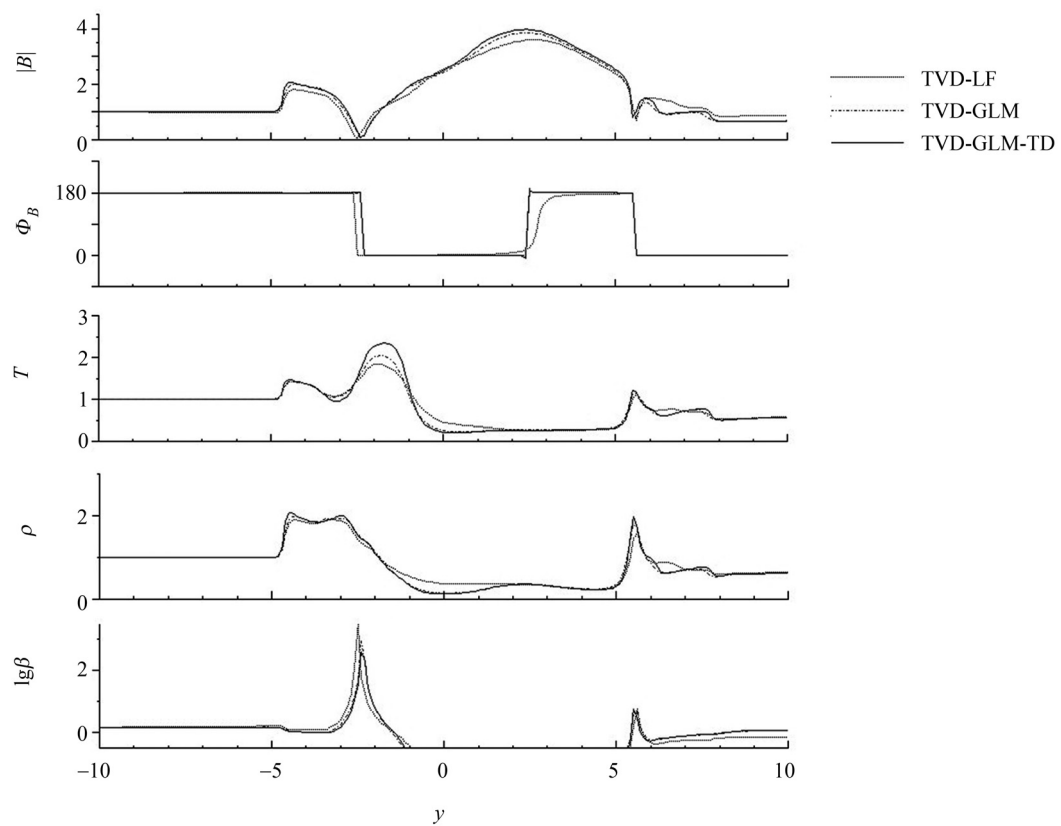


图 4  $T = 2$  时刻沿  $x = 0$  使用不同方法模拟磁场强度  $|B|$ 、磁场和  $x$  轴夹角  $\Phi_B$ 、等离子体温度  $T$ 、等离子体密度  $D$  及等离子体热压与磁压之比的对数  $\lg\beta$  随  $y$  的变化曲线

Fig. 4 Variety curves of magnetic field magnitude  $|B|$ , the angle between the filed vector  $B$  and the  $x$ -axis  $\Phi_B$ , plasma temperature  $T$ , plasma density  $D$  and the ratio  $\beta$  of the magnetic pressure and plasma pressure

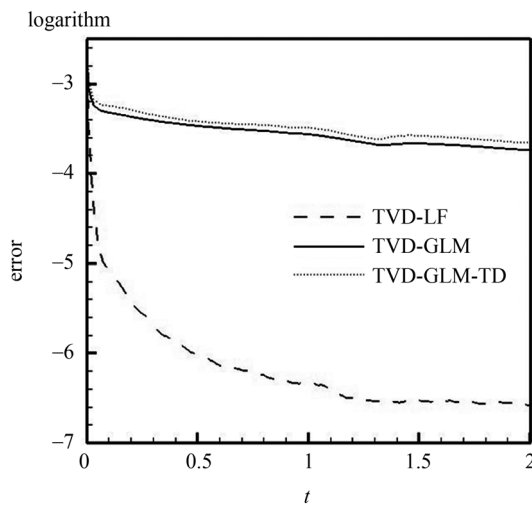


图 5 平均磁场散度误差随时间变化曲线  
Fig. 5 Variety curves of the error versus time

度时, 采用迭代方法求解柏松方程, 需要额外耗费较多时间. 这可能是其计算耗时较长的原因.

#### 4 结论

对 2.5D 笛卡儿坐标系下的 MHD 方程组采用 TVD 格式差分, 分别对耗散项和磁场散度约束条件进行修正, 发展出两种快捷具有 TVD 特性的组合数值模拟新方法. 有别于其他 TVD 格式, TD 修正稳定有效, 可对耗散项进行人为优化, TVD-GLM 方法则简单易行, 相同条件下模拟计算耗时减少一半. 对于二维 Rotor 问题所得结果与相关文献吻合, 能够准确模拟复杂螺旋阿尔芬波结构. 在磁云与电流片相互作用过程的数值模拟试验中, 两种修正方法得

到的结果具有更高精确度和分辨率, 与观测数据相符。这为今后将其推广到更为复杂的高维数值模拟计算提供了基础。

## 参考文献

- [1] BÜCHNER J, DUM C T, SCHOLER M. Space Plasma Simulation [M]. Berlin: Springer, 2003
- [2] ROE P L, BALSARA D S. Notes on the eigensystem of magnetohydrodynamics [J]. *Siam J. Appl. Math.*, 1996, **56**(1): 57-67
- [3] HAN S M, WU S T, DRYER M. A three-dimensional, time-dependent numerical modeling of super-sonic, super-Alfvénic MHD flow [J]. *Comp. Fluids*, 1988, **16**(1): 81
- [4] ANGELOPOULOS C D. High resolution schemes for hyperbolic conservation laws [J]. *J. Comput. Phys.*, 1983, **49**: 357-393
- [5] WAAGAN K. A positive MUSCL-Hancock scheme for ideal magnetohydrodynamics [J]. *J. Comput. Phys.*, 2009, **228**(23): 8609-8626
- [6] GARDINER T A, STONE J M. An unsplit Godunov method for ideal MHD via constrained transport in three dimensions [J]. *J. Comput. Phys.*, 2005, **205**(2): 509-539
- [7] FENG Xueshang, ZHOU Yufen, HU Yanqi. A 3rd order WENO GLM-MHD scheme for magnetic reconnection [J]. *Chin. J. Space Sci.*, 2006, **26**(1): 1-7
- [8] GREENOUGH J A, RIDER W J. A quantitative comparison of numerical methods for the compressible Euler equations: fifth-order WENO and piecewise-linear Godunov [J]. *J. Comput. Phys.*, 2004, **196**: 259-281
- [9] TANAKA T. Finite volume TVD scheme on an unstructured grid system for three-dimensional MHD simulation of inhomogeneous systems including strong background potential fields [J]. *J. Comput. Phys.*, 1994, **111**(2): 381-389
- [10] FENG Xueshang, WU Shisan, FAN Quanlin, et al. Scheme for MHD equations and its application to MHD numerical simulation [J]. *Chin. J. Space Sci.*, 2002, **22**(4): 300-308 (冯学尚, 吴士特, 范全林, 等. 一类 TVD 型组合差分方法及其在磁流体数值计算中的应用 [J]. 空间科学学报, 2002, **22**(4): 300-308)
- [11] WEI Fengsi, LIU Rui, FAN Quanlin, FENG Xueshang. Characteristics of the boundary layer of magnetic clouds and a new definition of the cloud boundary [J]. *Sci. China: Tech. Sci.*, 2003, **46**(1): 19-32
- [12] FENG Xueshang, XIANG Changqing, ZHONG Dingkun, FAN Quanlin. The comparison research of Ulysses observation and MHD simulation of 3D solar wind structure [J]. *Chin. Sci. Bull.*, 2005, **50**(8): 820-826 (冯学尚, 向长青, 钟鼎坤, 范全林. 三维太阳风结构的 Ulysses 观测和 MHD 模拟的比较研究 [J]. 科学通报, 2005, **50**(8): 820-826)
- [13] FAN Quanlin, WEI Fengsi, FENG Xueshang. Numerical simulation on a possible formation mechanism of interplanetary magnetic cloud boundaries [J]. *Comm. Theor. Phys.*, 2003, **40**: 247-252
- [14] POWELL K G, ROE P L, LINDE T J, et al. A solution-adaptive upwind scheme for ideal magnetohydrodynamics [J]. *J. Comput. Phys.*, 1999, **154**: 284-309
- [15] JANHUNEN P. A positive conservative method for magnetohydrodynamics based on HLL and Roe methods [J]. *J. Comput. Phys.*, 2000, **160**: 649-661
- [16] DEDNER A, KEMM F, KRÖNER D, et al. Hyperbolic divergence cleaning for the MHD equations [J]. *J. Comput. Phys.*, 2002, **175**: 645-673
- [17] YALIM M S, ABEELE D V, LANI A, et al. A finite volume implicit time integration method for solving the equations of ideal magneto-hydrodynamics for the hyperbolic divergence cleaning approach [J]. *J. Comput. Phys.*, 2011, **230**: 6136-6154
- [18] DIEBEL J. Numerical simulation of sub- and supersonic flows in inductively coupled plasma tunnels [R]//Technical Report 09. Belgium: Von Karman Institute for Fluid Dynamics, 2003
- [19] BALSARA D S, SPICER D S. A staggered mesh algorithm using high order Godunov fluxes to ensure solenoidal magnetic fields in magnetohydrodynamic simulations [J]. *J. Comput. Phys.*, 1999, **149**: 270-292
- [20] HIDALGO M A, CID C, MEDINA J, VINAS A F. A new model for the topology of magnetic clouds in the solar wind [J]. *Solar Phys.*, 2000, **194**: 165-174
- [21] FENG Xueshang, ZHOU Yufen, WU S T. A novel numerical implementation for solar wind modeling by the modified conservation element/solution element method [J]. *Astrophys. J.*, 2007, **655**: 1110-1126